

Альбрехт, К.Ф. и др.  
БЗ-1-8515.



ОБЪЕДИНЕННЫЙ ИНСТИТУТ ЯДЕРНЫХ ИССЛЕДОВАНИЙ

С344.1и + С344.1к  
А-564

790/75

БЗ-1-8515

ДЕПОНИРОВАННАЯ ПУБЛИКАЦИЯ

Дубна 19 75

ОБЪЕДИНЕННЫЙ ИНСТИТУТ ЯДЕРНЫХ ИССЛЕДОВАНИЙ

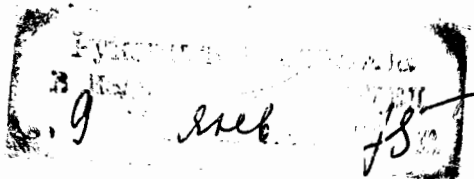
Лаборатория высоких энергий

БЗ-1-8515

И.-Ф.Альбрехт, В.К.Бирюлёв, Г.Вестергомби, В.И.Генчев, Т.С.Григалашвили, Б.Н.Гуськов, Р.И.Мекеладзе, П.Клиш, В.Г.Кривожикин, В.В.Кухтин, А.Л.Львоимов, М.Ф.Лихачёв, И.Манно, А.Марер, М.Новак, У.-Э.Рызек, И.А.Савин, В.И.Салометин, Л.В.Сильвестров, В.Е.Симонов, Л.Урбан.

ОПТИМИЗАЦИЯ ГЕОМЕТРИИ УСТАНОВКИ БИС ДЛЯ ЭКСПЕРИМЕНТА  
ПО ПОИСКУ РАСПАДОВ КОРОТКОЖИВУЩИХ КАОНОВ НА ЭВА  
ПРОНА.

Депонированное сообщение ОИЯИ.



Объединенный институт  
ядерных исследований  
БНБАН 134А

г. Лубна, 1974 г.

Ранее /1/ было предложено провести в Институте физики высоких энергий эксперимент по поиску распадов  $K_S^0 \rightarrow \mu^+ \mu^-$ , используя для этой цели модификацию установки БИС /2/. Вид установки БИС для поиска указанного распада изображен на рис. 1. Ниже приводятся результаты ее оптимизации методом Монте-Карло с целью выбора оптимального тока в магнитах и расположения детекторов.

Источником  $K_S^0$  является реакция рождения  $n + \bar{\nu} \rightarrow K_S^0 + \text{anything}$ . Моделирование рождения и распадов  $K_S^0$  осуществлялось следующим образом.

### 1. Разыгрывалось направление нейтрона.

Для этого выбиралась точка его рождения на внутренней мишени равномерно по  $x, y, z$  и точка его прохождения через выход первого коллиматора.  $Z$  - координаты мишени и коллиматора соответственно - 6750 и -4670 см. Мишень имеет 2 см в длину и 2 мм в диаметре. Коллиматор по  $x$  - 13,4 мм, по  $y$  - 23 мм. Предполагается, что остальные коллиматоры не режут пучок.

### 2. Разыгрывалась точка рождения $K^0$ .

При этом считалось, что последний коллиматор (выход) расположен на  $Z = -970$  см и сразу же за ним антисовпадетельный счётчик так, что мишень, расположенная к нему вплотную, имеет координату дальнего конца  $Z = -965$  см. Длина мишени 10 см. Точка взаимодействия нейтрона в мишени разыгрывалась равномерно.

### 3. Разыгрывался угол вылета и импульс $K^0$ .

При этом использовалась формула Триллинга /3/:

$$(1) \frac{d^2 N}{d p d \Omega} = A_1 p^2 \exp \left( -A_2 \frac{p}{\sqrt{p_0}} - A_3 p \sqrt{p_0} \theta^2 \right) + B_1 \frac{p}{p_0} \exp \left( -B_2 \left( \frac{p}{p_0} \right)^2 - B_3 p \theta \right),$$

где  $p_0$  и  $p$  - импульс нейтрона и  $K^0$  соответственно,  $\theta$  - угол вылета  $K^0$ , а константы взяты из работы /3/:

$$A_1 = 4,12 \cdot 10^{-2} ; A_2 = 4,763 ; A_3 = 1,29$$

$$B_1 = 0,27 ; B_2 = 10,275 ; B_3 = 3 669$$

Для падающих нейтронов использовался спектр протонов, рожденных в меди 70 Гэв протонами под углом около  $0,5^\circ$  /4/. Предполагалось, что в нашем случае спектр нейтронов будет близким. Форма спектра нейтронов, а также спектры  $K^0$ -мезонов, для разных углов показаны на рис.2. Спектры  $K^0$ -мезонов вычислены по формуле (1) путем интегрирования по  $p_0$  с использованием спектра нейтронов в качестве веса.

#### 4. Разыгрывался распад $K^0$ -мезона по каналу $K^0 \rightarrow \mu^+ \mu^-$ .

Распад происходил по закону  $\exp(-t/\tau_s)$ ,  $\tau_s \approx 0,86 \times 10^{-10}$  сек  
Распадная зона была выбрана так, что она начиналась в 10 см от конца мишени (ближе к магниту СП-94) и кончалась в 80 см от магнита. Т.о. координаты распадной зоны были  $Z = -945 \pm 830$  см и длина 175 см. Импульсы распадных мюонов и углы их вылета в с.ц.м. каона разыгрывались равномерно по  $\varphi$  и  $\cos \theta$ . Затем происходило преобразование в л.с.к., где определялись также углы вылета мюонов и их импульсы.

5. Проверялось прохождение пары мюонов с данной конфигурацией через элементы установки. При этом изменение импульсов мюонов в магнитах вычислялось следующим образом

$$p'_x = p_x + q \cdot HL ;$$

$$p'_y = p_y ;$$

$$p'_z = \sqrt{p_z^2 + p_x^2 - p_x'^2} ,$$

где  $p, p'$  - импульсы до и после магнита,  $q = \pm 1$  в зависимости от заряда частицы,  $HL = H \cdot l \cdot 0,03$  - отклонение в Гэв,  $H$  - магнитное поле в кгаусс,  $l$  - эффективная длина магнита. Для магнита СП-40 известно /5/, что эффективная длина равна 2 м и поле изменяется в пределах от 0 до 14 кгаусс. Это соответствует изменению  $HL = 0 \div 0,84$  Гэв. Для магнита СП-94 предполагается, что можно изменять  $HL$  в пределах  $0 \div 0,3$  Гэв.

Заметим, что при моделировании мы называли первым тот мюон, у которого проекция импульса на ось X больше, т.е.  $P_{x1} \geq P_{x2}$ , и ему приписывали отрицательный заряд. Это значит, что если  $HL$  выбрано положительным (отрицательным), то мюоны фокусировались (дефокусировались) этим магнитом.

При проверке прохождения мюонов через элементы установки и вычисления соответствующей эффективности рассматривалось три набора условий.

I набор. 1) Токи в магнитах были выбраны так, что  $HL_1 = 0,2$  Гэв,  $HL_2 = -0,6$  Гэв ("расходящаяся геометрия");  
2) требовалось, чтобы обе частицы прошли через магнит в середине ( $Z = -750$  см и  $0$  см) и в конце полюсных наконечников ( $Z = -685$  см и  $75$  см); размеры магнитов по Y  $\pm 15$  см и  $\pm 50$  см  
по X  $\pm 6,5$  см и  $\pm 15$  см

II набор. 1) и 2) условия те же;  
3) на Z - координате 400 см мюоны не должны попадать в щель шириной 20 см, оставленную для прохождения пучка, Y - координаты мюонов должны быть между -10 и -70 см или между 10 и 70 см.

4) требовалось, чтобы  $Y$  - координаты мюонов в плоскости  $Z = 400$  были между  $Y = -20$  и  $+20$  см.

III набор. 1) Токи в магнитах были выбраны так, что  $HL_1 = 0,2$  Гэв и  $HL_2 = 0,6$  Гэв в перекрестной геометрии; условия 2-4 были такими же, как во II наборе.

Прохождение распадных частиц через элементы установки характеризуется распределениями I-26 для каждого набора условий I-III. При этом на

Гист.1. - показан спектр  $K^0$  - мезонов;

Гист.2 - распределение  $K^0$  по углу;

Гист.3 - импульсный спектр пучка;

Гист.4 -  $X$  - координата точек распада;

Гист.5 -  $Y$  - координата точек распада;

Гист.6 -  $Z$  - координата точек распада;

Гист.7+16 - распределения по  $X$  - координате первой частицы для разных  $Z$  - плоскостей ( $Z = -830$ ; центр магнита  $M_1$  ;  $-670$ ;  $-300$ ;  $-150$ ; центр магнита  $M_2$  ;  $+150$ ;  $+250$ ;  $+400$ ;  $+700$  см.соотв.).

Гист.17+26 - распределения по  $Y$  - координате обеих частиц для тех же  $Z$  - плоскостей.

Рассматривая эти распределения, можно сделать следующие выводы.

1) Камеры практически не ограничивают эффективность установки по  $Y$ ;

2) по  $X$  до магнита тоже нет ограничений эффективности установки из-за размеров камер;

- 3) после СП-40 желательно иметь камеры большего размера: из-за щели 20 см на плоскости  $Z = 400$  см и размера камер по  $X$  эффективность установки уменьшается больше чем на 50%;
- 4) чтобы не терять точность по углу и массе необходимо установить первый блок камер за магнитом вплотную к нему, а последние блоки - вплотную к ДБ.

6. Проверялась зависимость эффективности от величины

магнитного поля в обоих магнитах. Эта зависимость показана

на рис.3а,б, в соответственно для размеров щели между блоками железа в мд-фильтре 20 см, 10 см и 30 см. На каждом из рис.3 слева показана эффективность для "расходящейся геометрии", а справа - для "перекрестной". Сплошной линией показана эффективность, когда первая частица отрицательная. Пунктир - суммарная эффективность для обеих конфигураций с данной последовательностью включения магнитов. Шкала эффективности на рис.3 относительная. Для получения абсолютной геометрической эффективности установки надо приведенные там цифры умножить на фактор 0,027. Полученное произведение даст вероятность того, что 1 рожденный в мишени  $K_S^0$  будет зарегистрирован установкой. Например, для пунктирной кривой 0,6 - эффективность регистрации 1 рожденного  $K_S^0$  будет  $0,09 \cdot 0,027 = 2,44 \cdot 10^{-3}$ . Если за цикл работы ускорителя на всех углах и импульсах рождается  $10^5 K_S^0$  и  $\Gamma_S (\mu\mu) = 10^{-7} \Gamma_S$ , то 1 распад  $K_S^0 \rightarrow \mu\mu$  будет зарегистрирован за 100 часов.

Л и т е р а т у р а

1. К.-Ф.Альбрехт и др. ОИЯИ БЭ-1-669, Дубна, 1972.
2. С.Г.Басияладзе и др., ОИЯИ, Р1-5361, Дубна, 1970.
3. А.А.Борисов и др. ИЯЭ СЭФ, 67-55, Серпухов, 1967.
4. H.Grote et.al. CERN, Atlas of particle production Spectra, 1970.
5. А.С.Ровенко и др. ОИЯИ, Б1-1-7039, Дубна, 1973.



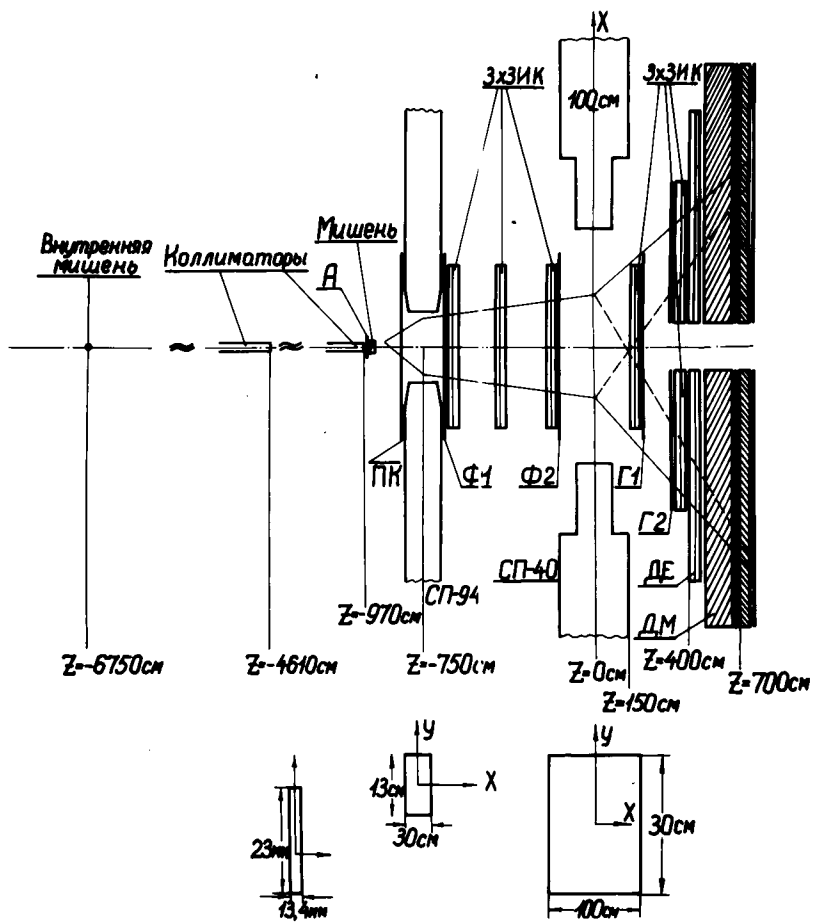


Рис. I. Схема установки для поиска распада  $K_S^0 \rightarrow \mu\mu$

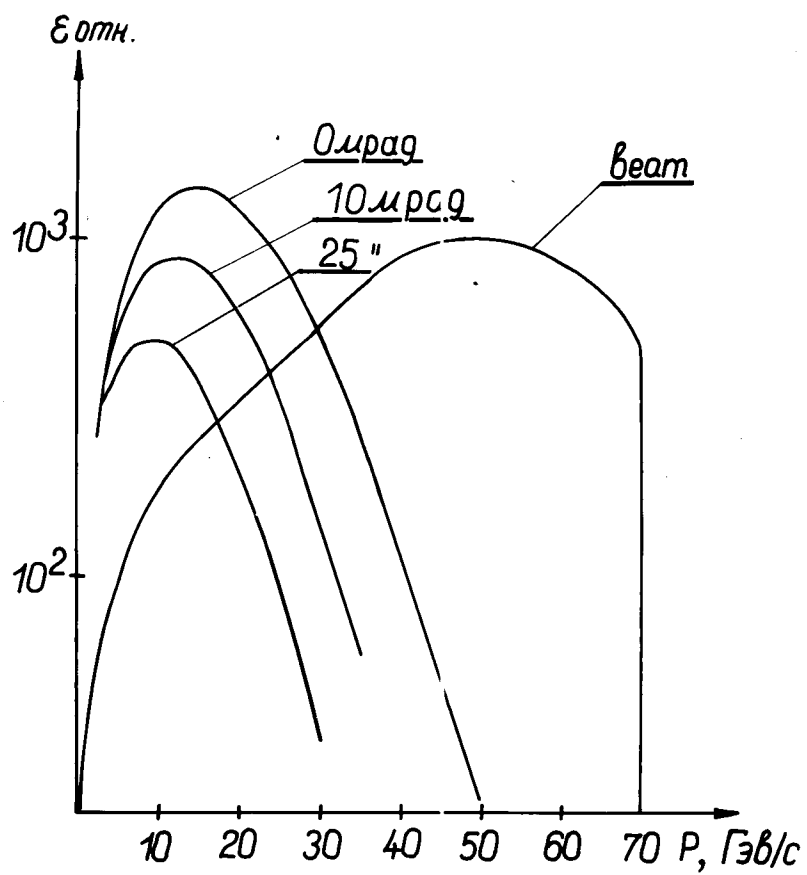


Рис.2. Спектр нейтронов пучка (beam) и спектры рожденных  $K^0$ -мезонов для разных углов.

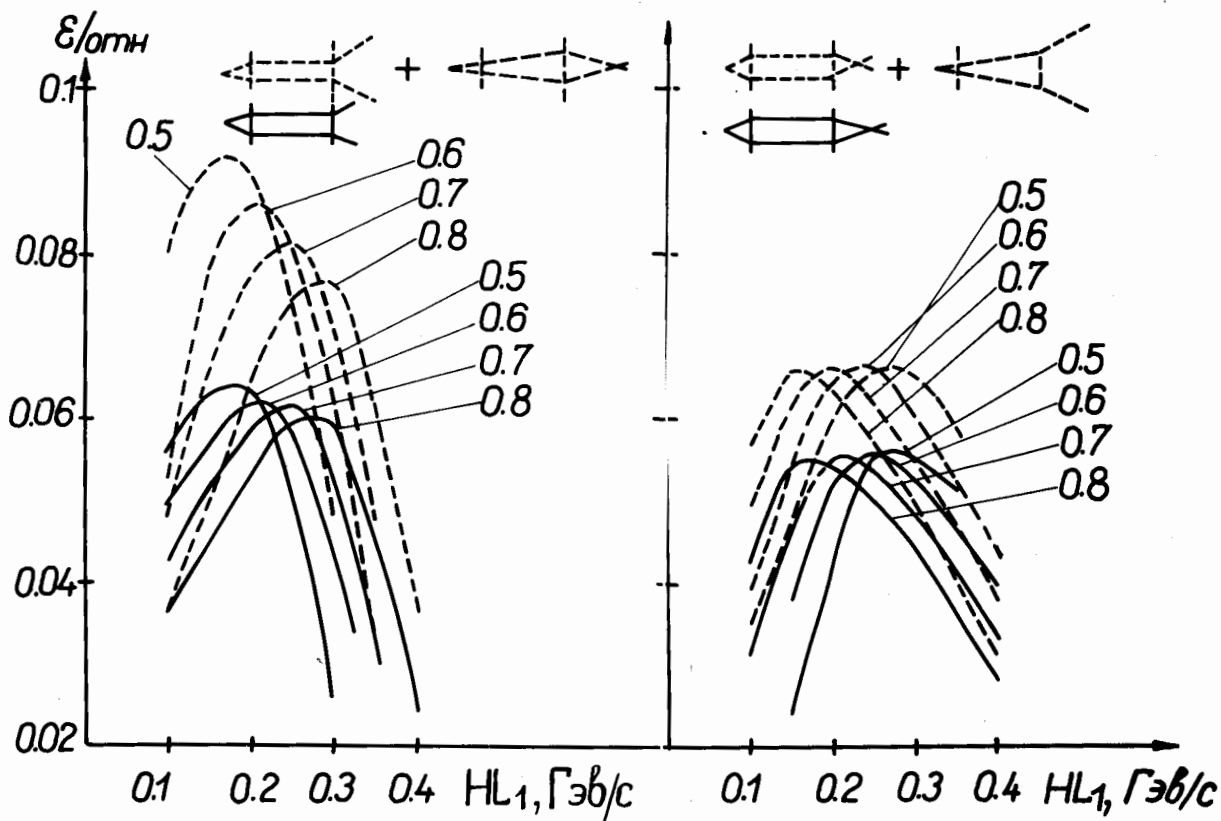


Рис.3а. Относительная эффективность установки в зависимости от величины магнитного поля в СП-94 для различных значений поля в СП-40А и щели в  $\mu$ -детекторе 20 см. Сплошной линией показана эффективность: - слева для расходящейся геометрии"; - справа для перекрестной геометрии"; в случае, когда первая частица - отрицательная. Пунктирной линией показана суммарная эффективность, когда первая частица или отрицательная, или положительная.

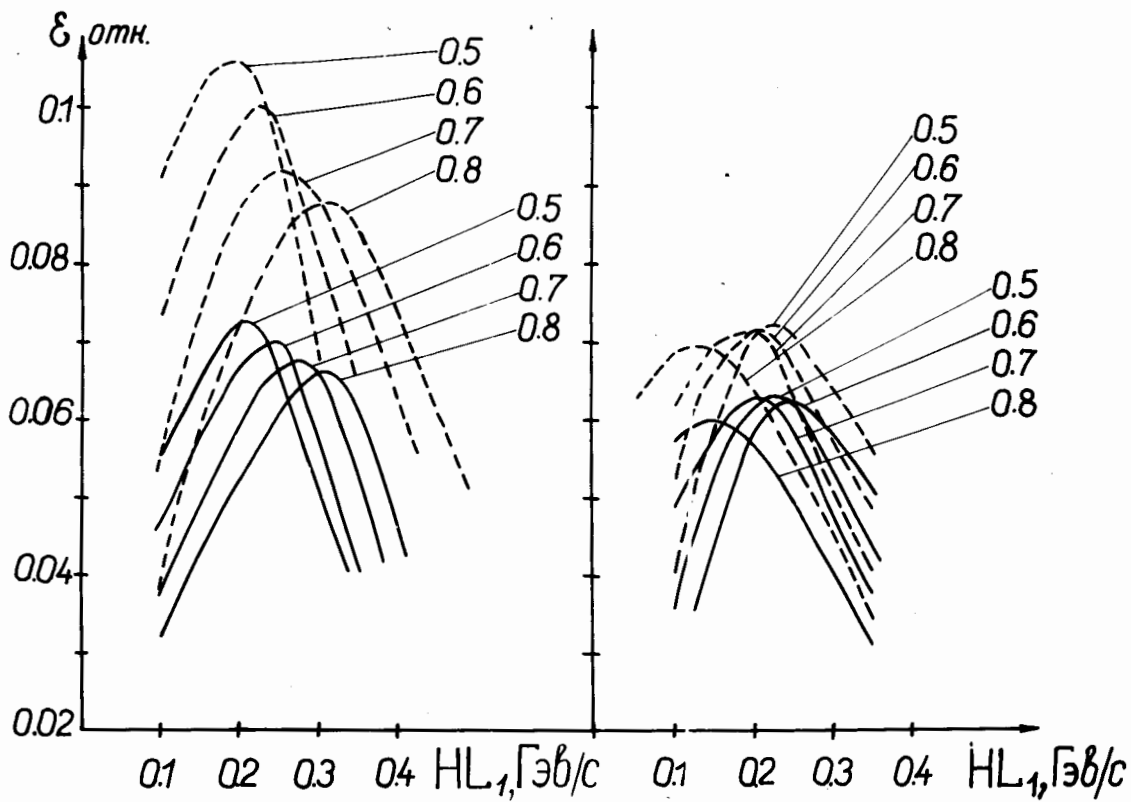


Рис. 3в. Относительная эффективность установки так же как 3а, если щель в  $\mu\text{O}$ -детекторе 10 см.

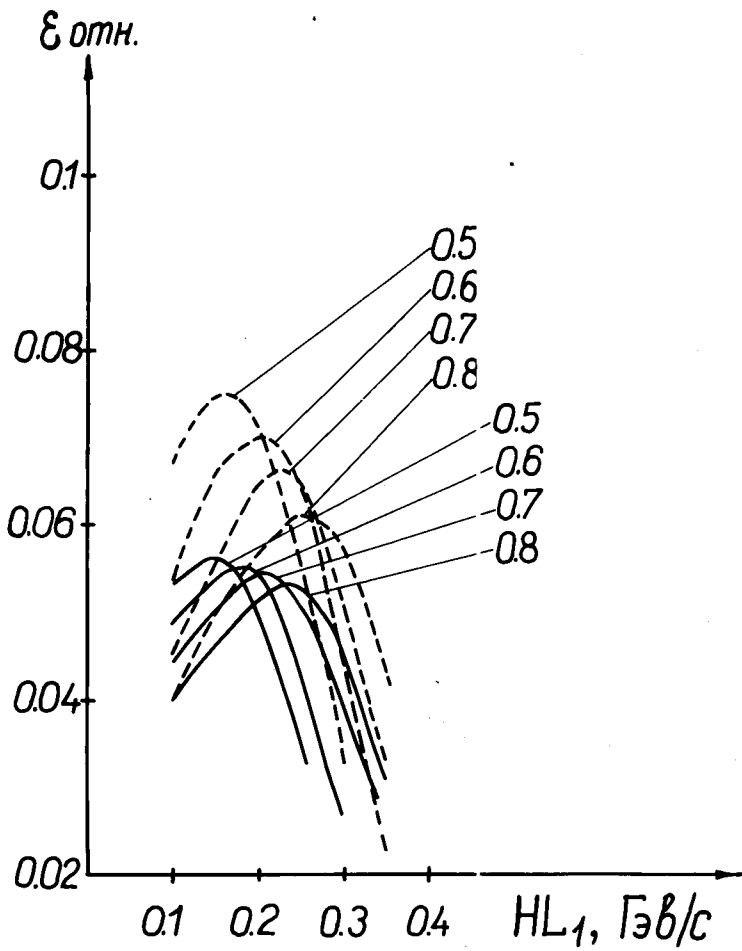
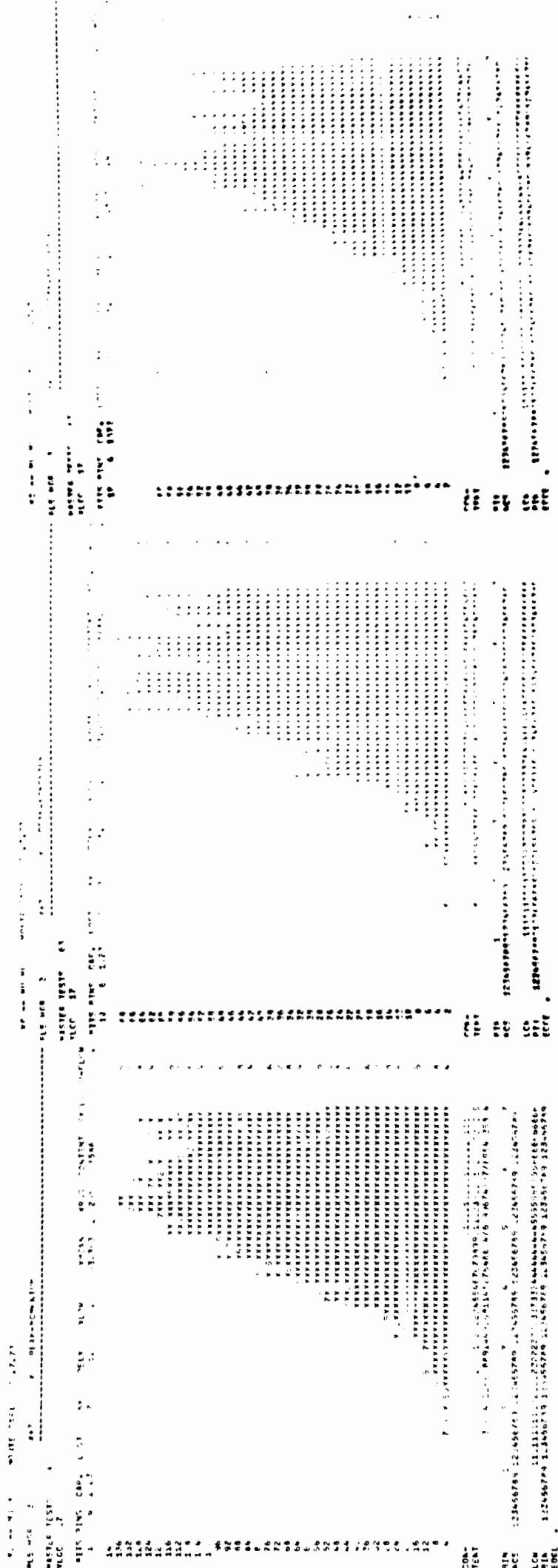


Рис. 3с. Относительная эффективность установки так же как 3а, если щель в мю-детекторе 30 см.

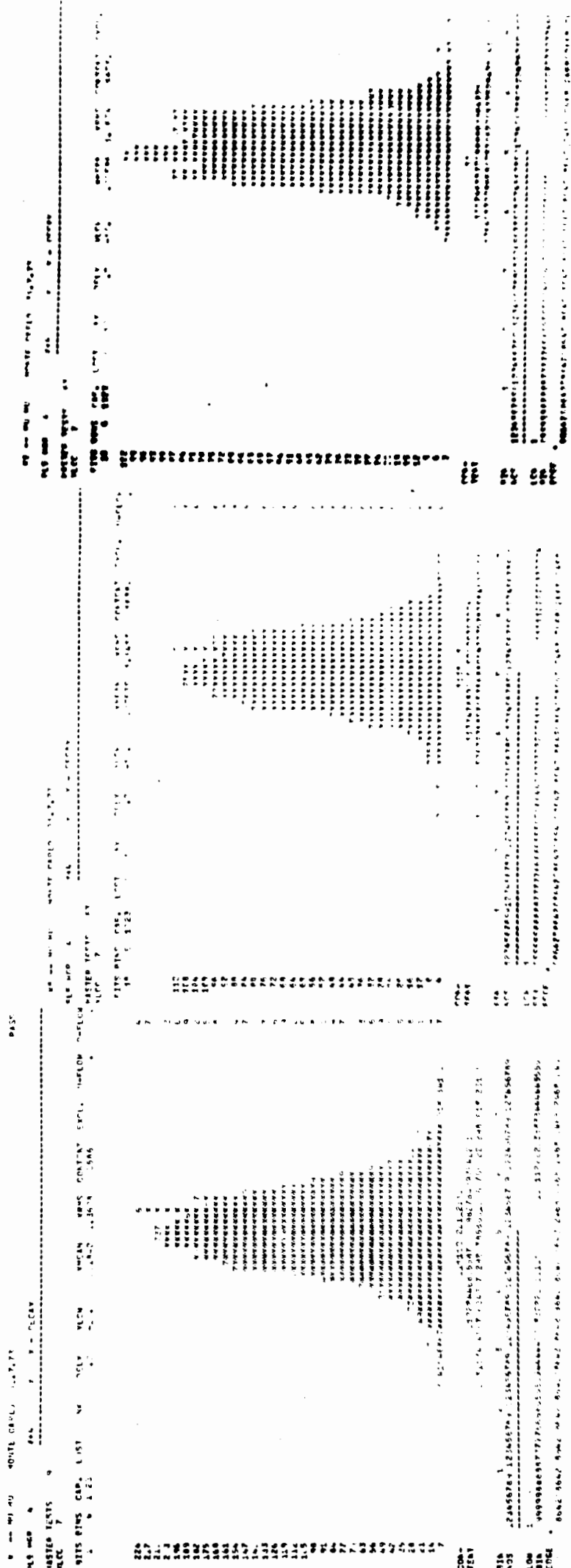






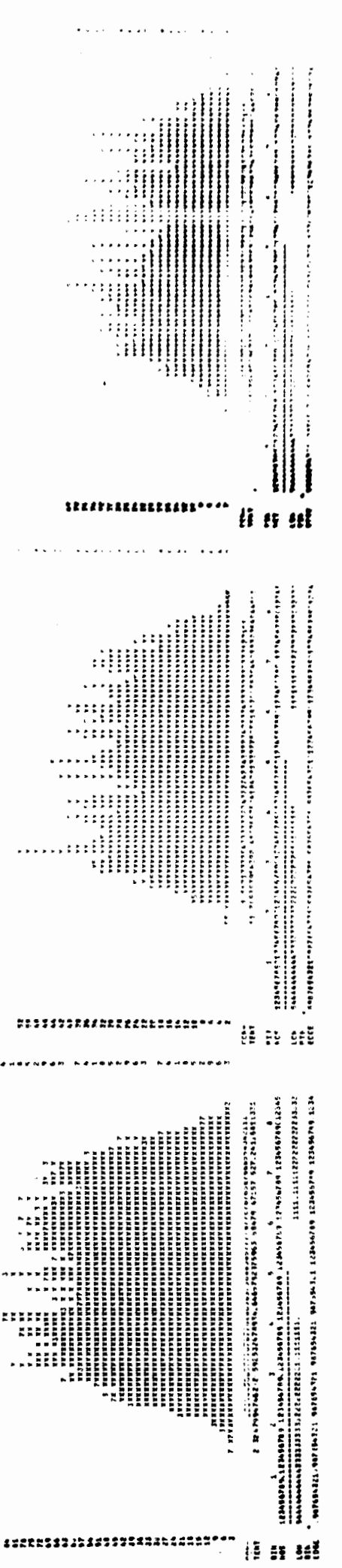
Гистограмма 3



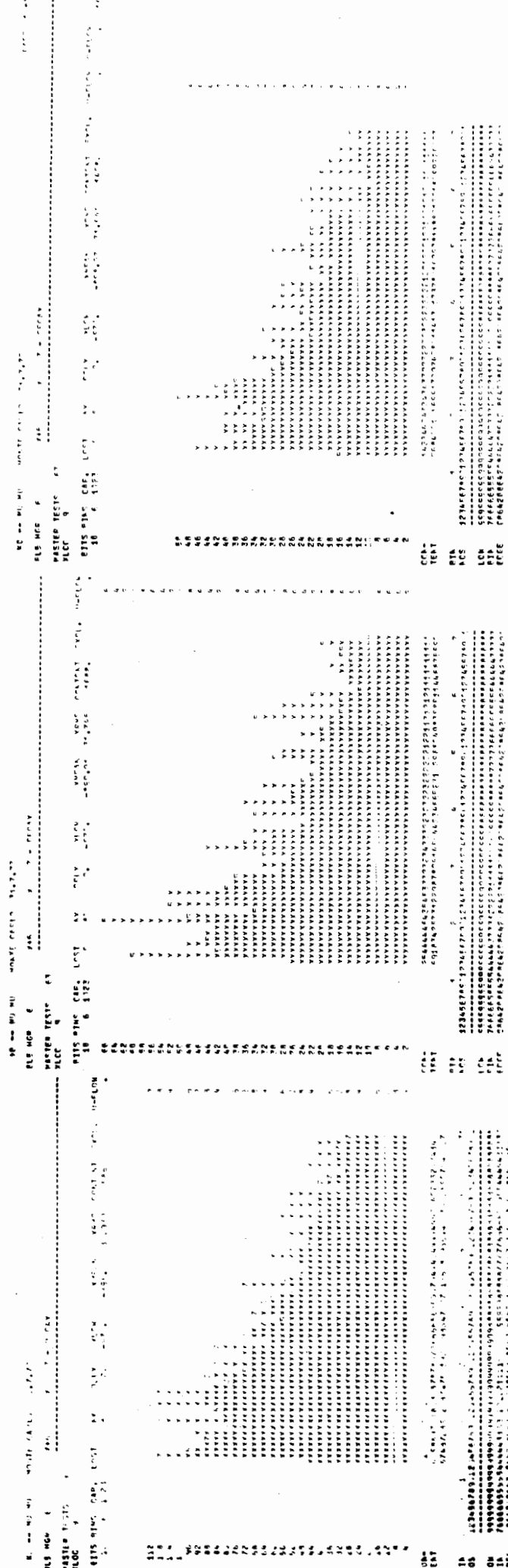


Гистограмма 4

1. -- NU NU MONTE CARLO 31-7-73 PASS 1-02  
 2. -- NU NU MONTE CARLO 31-7-73  
 3. -- NU NU MONTE CARLO 31-7-73  
 4. -- NU NU MONTE CARLO 31-7-73  
 5. -- NU NU MONTE CARLO 31-7-73  
 6. -- NU NU MONTE CARLO 31-7-73  
 7. -- NU NU MONTE CARLO 31-7-73  
 8. -- NU NU MONTE CARLO 31-7-73  
 9. -- NU NU MONTE CARLO 31-7-73  
 10. -- NU NU MONTE CARLO 31-7-73  
 11. -- NU NU MONTE CARLO 31-7-73  
 12. -- NU NU MONTE CARLO 31-7-73  
 13. -- NU NU MONTE CARLO 31-7-73  
 14. -- NU NU MONTE CARLO 31-7-73  
 15. -- NU NU MONTE CARLO 31-7-73  
 16. -- NU NU MONTE CARLO 31-7-73  
 17. -- NU NU MONTE CARLO 31-7-73  
 18. -- NU NU MONTE CARLO 31-7-73  
 19. -- NU NU MONTE CARLO 31-7-73  
 20. -- NU NU MONTE CARLO 31-7-73  
 21. -- NU NU MONTE CARLO 31-7-73  
 22. -- NU NU MONTE CARLO 31-7-73  
 23. -- NU NU MONTE CARLO 31-7-73  
 24. -- NU NU MONTE CARLO 31-7-73  
 25. -- NU NU MONTE CARLO 31-7-73  
 26. -- NU NU MONTE CARLO 31-7-73  
 27. -- NU NU MONTE CARLO 31-7-73  
 28. -- NU NU MONTE CARLO 31-7-73  
 29. -- NU NU MONTE CARLO 31-7-73  
 30. -- NU NU MONTE CARLO 31-7-73  
 31. -- NU NU MONTE CARLO 31-7-73  
 32. -- NU NU MONTE CARLO 31-7-73  
 33. -- NU NU MONTE CARLO 31-7-73  
 34. -- NU NU MONTE CARLO 31-7-73  
 35. -- NU NU MONTE CARLO 31-7-73  
 36. -- NU NU MONTE CARLO 31-7-73  
 37. -- NU NU MONTE CARLO 31-7-73  
 38. -- NU NU MONTE CARLO 31-7-73  
 39. -- NU NU MONTE CARLO 31-7-73  
 40. -- NU NU MONTE CARLO 31-7-73  
 41. -- NU NU MONTE CARLO 31-7-73  
 42. -- NU NU MONTE CARLO 31-7-73  
 43. -- NU NU MONTE CARLO 31-7-73  
 44. -- NU NU MONTE CARLO 31-7-73  
 45. -- NU NU MONTE CARLO 31-7-73  
 46. -- NU NU MONTE CARLO 31-7-73  
 47. -- NU NU MONTE CARLO 31-7-73  
 48. -- NU NU MONTE CARLO 31-7-73  
 49. -- NU NU MONTE CARLO 31-7-73  
 50. -- NU NU MONTE CARLO 31-7-73  
 51. -- NU NU MONTE CARLO 31-7-73  
 52. -- NU NU MONTE CARLO 31-7-73  
 53. -- NU NU MONTE CARLO 31-7-73  
 54. -- NU NU MONTE CARLO 31-7-73  
 55. -- NU NU MONTE CARLO 31-7-73  
 56. -- NU NU MONTE CARLO 31-7-73  
 57. -- NU NU MONTE CARLO 31-7-73  
 58. -- NU NU MONTE CARLO 31-7-73  
 59. -- NU NU MONTE CARLO 31-7-73  
 60. -- NU NU MONTE CARLO 31-7-73  
 61. -- NU NU MONTE CARLO 31-7-73  
 62. -- NU NU MONTE CARLO 31-7-73  
 63. -- NU NU MONTE CARLO 31-7-73  
 64. -- NU NU MONTE CARLO 31-7-73  
 65. -- NU NU MONTE CARLO 31-7-73  
 66. -- NU NU MONTE CARLO 31-7-73  
 67. -- NU NU MONTE CARLO 31-7-73  
 68. -- NU NU MONTE CARLO 31-7-73  
 69. -- NU NU MONTE CARLO 31-7-73  
 70. -- NU NU MONTE CARLO 31-7-73  
 71. -- NU NU MONTE CARLO 31-7-73  
 72. -- NU NU MONTE CARLO 31-7-73  
 73. -- NU NU MONTE CARLO 31-7-73  
 74. -- NU NU MONTE CARLO 31-7-73  
 75. -- NU NU MONTE CARLO 31-7-73  
 76. -- NU NU MONTE CARLO 31-7-73  
 77. -- NU NU MONTE CARLO 31-7-73  
 78. -- NU NU MONTE CARLO 31-7-73  
 79. -- NU NU MONTE CARLO 31-7-73  
 80. -- NU NU MONTE CARLO 31-7-73  
 81. -- NU NU MONTE CARLO 31-7-73  
 82. -- NU NU MONTE CARLO 31-7-73  
 83. -- NU NU MONTE CARLO 31-7-73  
 84. -- NU NU MONTE CARLO 31-7-73  
 85. -- NU NU MONTE CARLO 31-7-73  
 86. -- NU NU MONTE CARLO 31-7-73  
 87. -- NU NU MONTE CARLO 31-7-73  
 88. -- NU NU MONTE CARLO 31-7-73  
 89. -- NU NU MONTE CARLO 31-7-73  
 90. -- NU NU MONTE CARLO 31-7-73  
 91. -- NU NU MONTE CARLO 31-7-73  
 92. -- NU NU MONTE CARLO 31-7-73  
 93. -- NU NU MONTE CARLO 31-7-73  
 94. -- NU NU MONTE CARLO 31-7-73  
 95. -- NU NU MONTE CARLO 31-7-73  
 96. -- NU NU MONTE CARLO 31-7-73  
 97. -- NU NU MONTE CARLO 31-7-73  
 98. -- NU NU MONTE CARLO 31-7-73  
 99. -- NU NU MONTE CARLO 31-7-73  
 100. -- NU NU MONTE CARLO 31-7-73



Гистограмма 5



Гистограмма 6











































